

# 電気電子計算工学及演習 課題 3

三軒家 佑将 (さんげんや ゆうすけ)

3 回生

1026-26-5817

a0146089

## 1 プログラムの説明

### 1.1 概要

本レポートにおいては、プログラム言語として Ruby を採用した。

プログラムを実行する手順は、以下のとおりである。以下の手順に従うことで、課題 3.1, 3.2, 3.3, 3.4 の 4 つ全てに関して、結果をグラフにした画像が `graphs` ディレクトリ以下に出力される。また、各数値解法における  $p - \log_2 E_r$  のグラフの傾きが、標準出力に表示される。

```
?> cd src
?> bundle install --path vendor/bin
?> bundle exec ruby main.rb 2> /dev/null
```

二行目で、依存ライブラリのインストールを行っている。また、三行目は、プログラムを実行するコマンドである。エラー出力を `/dev/null` にリダイレクトしているのは、線形回帰に用いたライブラリの警告メッセージを表示しないためである。リダイレクトを行わなくても、プログラムは問題なく実行される。

### 1.2 各機能・関数の説明

プログラムを作成するにあたって、見通しを良くするために、プログラムを複数のファイルに分割している。ここでは、各ファイルごとに、そのファイルの担う機能と、そのファイル内にある関数の機能などについて簡単に説明する。

各関数の詳しい使用方法などは、プログラム内のコメントにて示したので、そちらも参照されたい。

## calculation.rb

各課題の数値計算を行なう部分のうち、共通する部分を切り出したものである。calculate 関数と all\_calculations 関数を含む。

calculate 関数は、渡された各種パラメーターと、渡されたブロックで表されたアルゴリズムに基づいて、数値計算を行なう。

all\_calculations 関数は、渡された各種パラメーターと、渡されたブロックで表されたアルゴリズムに基づいて、calculate 関数を内部で複数呼び出し、課題 3.1 と 3.2 に示された各種数値計算を行なう。

## vector.rb

一次元のベクトルを表す MyVector クラスを定義している。

MyVector クラスは、Ruby の組み込みクラスである Array クラスを継承して定義した。Array クラスの機能に加えて、ベクトル間の加算 (+)・減算 (-) と、ベクトル-スカラー間の乗算 (\*)・除算 (/) を定義している。また、MyVector クラスには、ベクトルの大きさ (二乗和平方根) を求める norm メソッドと、要素の合計を求める sum メソッドを定義した。さらに、MyVector クラスのインスタンスを簡単に生成するために、Array クラスに、to\_v メソッドを追加した。

## plot.rb

グラフを描画し、ファイルに出力する機能を担う。gnuplot のラッパーを利用している。

draw\_graphs 関数に各種パラメーターを渡すことで、graphs ディレクトリ以下にグラフの画像が出力される。save\_graphs 関数は、draw\_graphs 関数に呼び出され、実際にグラフを出力する処理を行なう。

## least\_square.rb

線形回帰を行って、一次関数の係数を求める機能を担う。statsample というライブラリを利用している。

least\_square 関数が定義されており、x の配列と y の配列を与えると、その 2 つのデータの間に関係  $y = a + bx$  の関係があると考え、 $a$  と  $b$  の値を求める。

## main.rb

上記で述べた関数を利用して、実際にオイラー法・ホイン法・四次のルンゲ-クッタ法にて、微分方程式の数値解を求める。

関数  $f$  は、与えられた微分方程式を関数にしたものである。すなわち、

$$\frac{dx}{dt} = f \quad (1)$$

である。

## 2 課題 3.1

与えられた微分方程式

$$\begin{aligned}\frac{d\mathbf{r}}{dt} &= \mathbf{v} \\ &= \begin{pmatrix} v_1 \\ v_2 \end{pmatrix} \\ \frac{d\mathbf{v}}{dt} &= \frac{q}{m} (\mathbf{v} \times \mathbf{B}) \\ &= \begin{pmatrix} v_2 \\ -v_1 \end{pmatrix}\end{aligned}$$

を、 $\mathbf{x} = (r_1 \ r_2 \ v_1 \ v_2)^T$  に対する微分方程式

$$\frac{d\mathbf{x}}{dt} = \mathbf{f}(\mathbf{x}) = \begin{pmatrix} v_1 \\ v_2 \\ v_2 \\ -v_1 \end{pmatrix} \quad (2)$$

と考え、この数値解を、オイラー法を用いて求めた。また、 $\mathbf{x}$  の初期値は、 $\mathbf{x}_0 = (-1 \ 0 \ 0 \ 1)^T$  とした。

ただし、数値解を求める範囲は  $0 \leq t \leq 6.4 \times 5$  とし、微小時間は  $dt = 0.1$  秒とした。これは、課題 3.3, 3.4 においても同様である。

### 2.1 オイラー法

オイラー法は、以下の手順で  $\mathbf{x}_n$  を順次求める手法である。

1.  $\mathbf{k} = \mathbf{f}(\mathbf{x}_{n-1})$
2.  $\mathbf{x}_n = \mathbf{x}_{n-1} + \mathbf{k} \cdot dt$

ただし、 $\mathbf{f}$  は式 (2) による (課題 3.3, 3.4 でも同様)。

### 2.2 結果

図 1 は、式 (2) の解析解と数値解のそれぞれについて、 $\mathbf{r}$  の軌跡をプロットしたものである。時間の経過に従って、数値解の差が大きくなっていることがわかる。

図 2 は、式 (2) の解析解と数値解の誤差を、時間に沿ってプロットしたものである。時間の経過に従って、誤差が二次関数的に増加しているように見える。

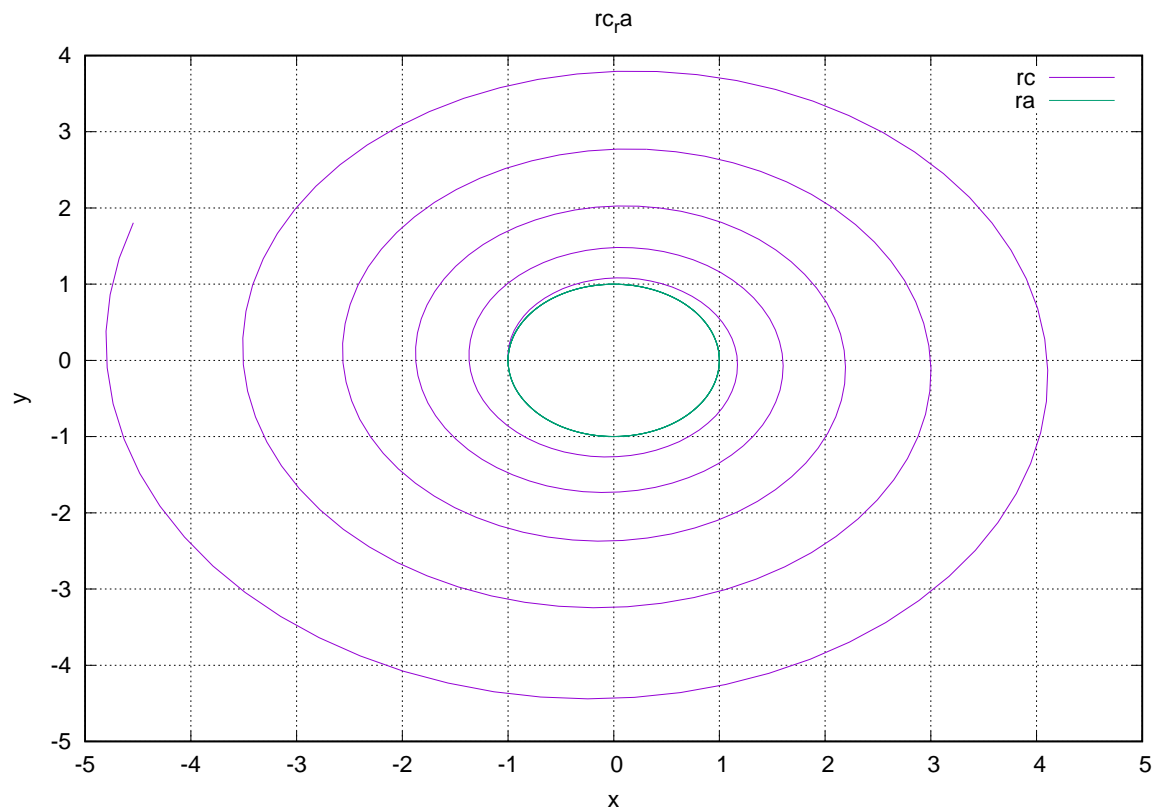


図1 解析解と数値解の比較

### 3 課題 3.2

$dt = 6.4 * 2^{-p} (p = 3, 4, \dots, 18)$  として、 $0 \leq t \leq 6.4$  の範囲でオイラー法による数値解を計算し、各  $p$  に対して最大誤差  $E_r = \max |e_r(t)|$  を求めた。

#### 3.1 結果

図3は、各  $p$  に対する  $\log_2 E_r$  をグラフにプロットしたものである。 $p$  の増加に伴い、一次関数的に最大誤差が減少していることがわかる。

このグラフの傾きは、標準出力の表示によると、

$$b = -1.0461609925464084$$

であった。

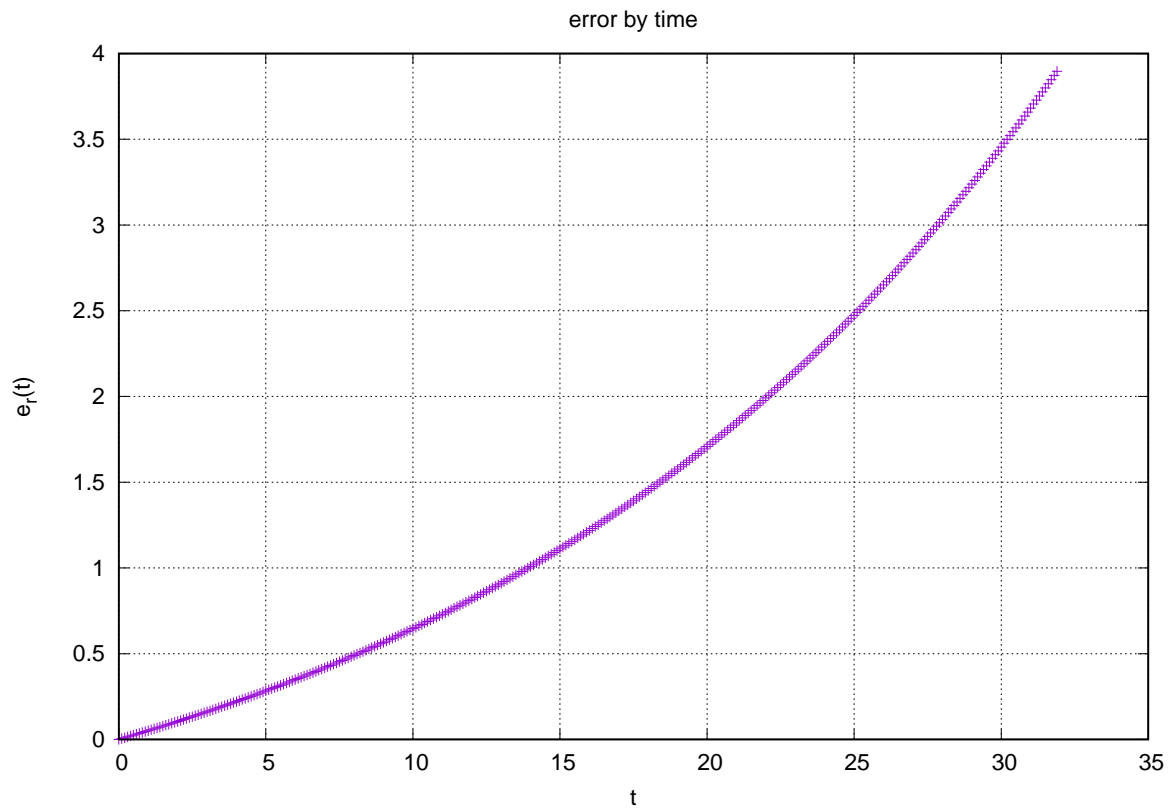


図2 誤差の時間発展

## 4 課題 3.3

式 (2) の数値解を、ホイン法を用いて計算した。また、課題 3.2 と同様に、各  $p$  に対して最大誤差  $E_r = \max |e_r(t)|$  を求めた。

### 4.1 ホイン法

ホイン法は、以下の手順で  $\mathbf{x}_n$  を順次求める手法である。

1.  $\mathbf{k}_1 = \mathbf{f}(\mathbf{x}_{n-1})$
2.  $\mathbf{k}_2 = \mathbf{f}(\mathbf{x}_{n-1} + \mathbf{k}_1 \cdot dt)$
3.  $\mathbf{k} = \frac{\mathbf{k}_1 + \mathbf{k}_2}{2}$
4.  $\mathbf{x}_n = \mathbf{x}_{n-1} + \mathbf{k} \cdot dt$

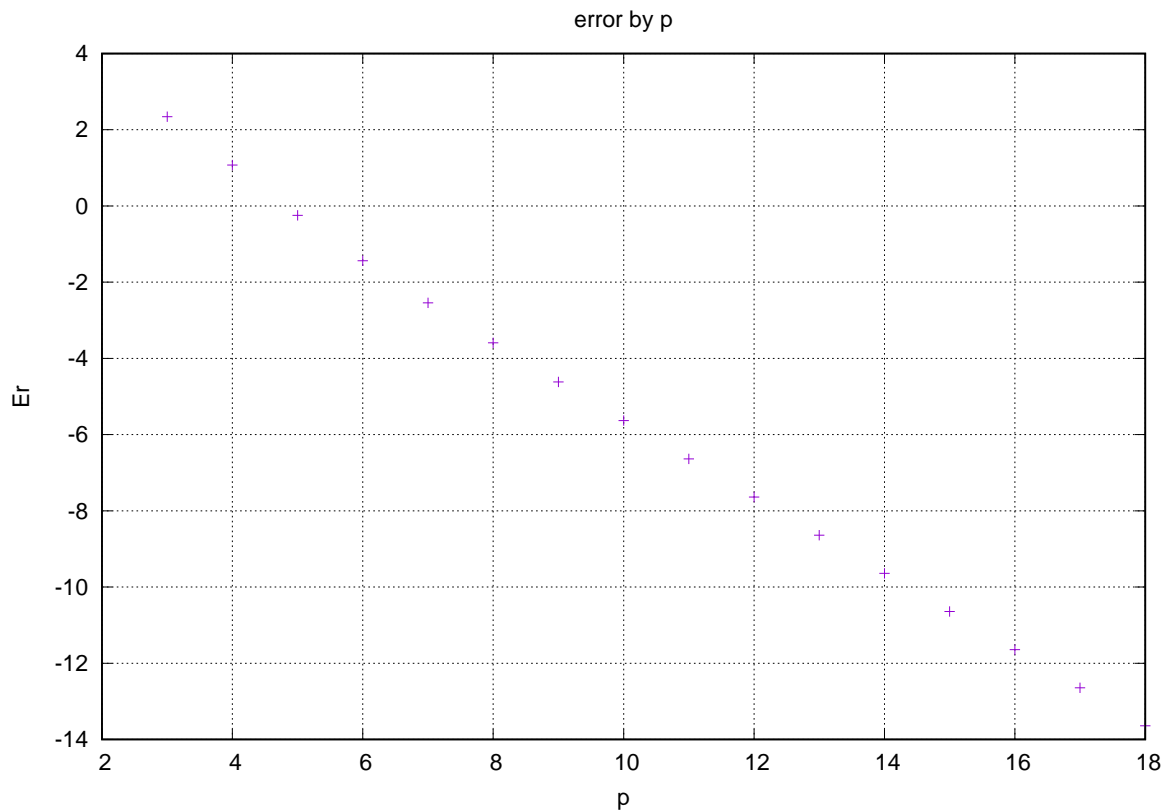


図3 微小時間の大きさに対する誤差の大きさ

## 4.2 結果

図4は、式(2)の解析解と数値解のそれぞれについて、 $\mathbf{r}$ の軌跡をプロットしたものである。目視では違いが見られないほど、高い精度で数値解が求められていることがわかる。

図5は、式(2)の解析解と数値解の誤差を、時間に沿ってプロットしたものである。時間の経過に従って、誤差が一次関数的に増加していることがわかる。

図6は、各 $p$ に対する $\log_2 E_r$ をグラフにプロットしたものである。 $p$ の増加に伴い、一次関数的に最大誤差が減少していることがわかる。

このグラフの傾きは、標準出力の表示によると、

$$b = -1.9974708704503414$$

であった。

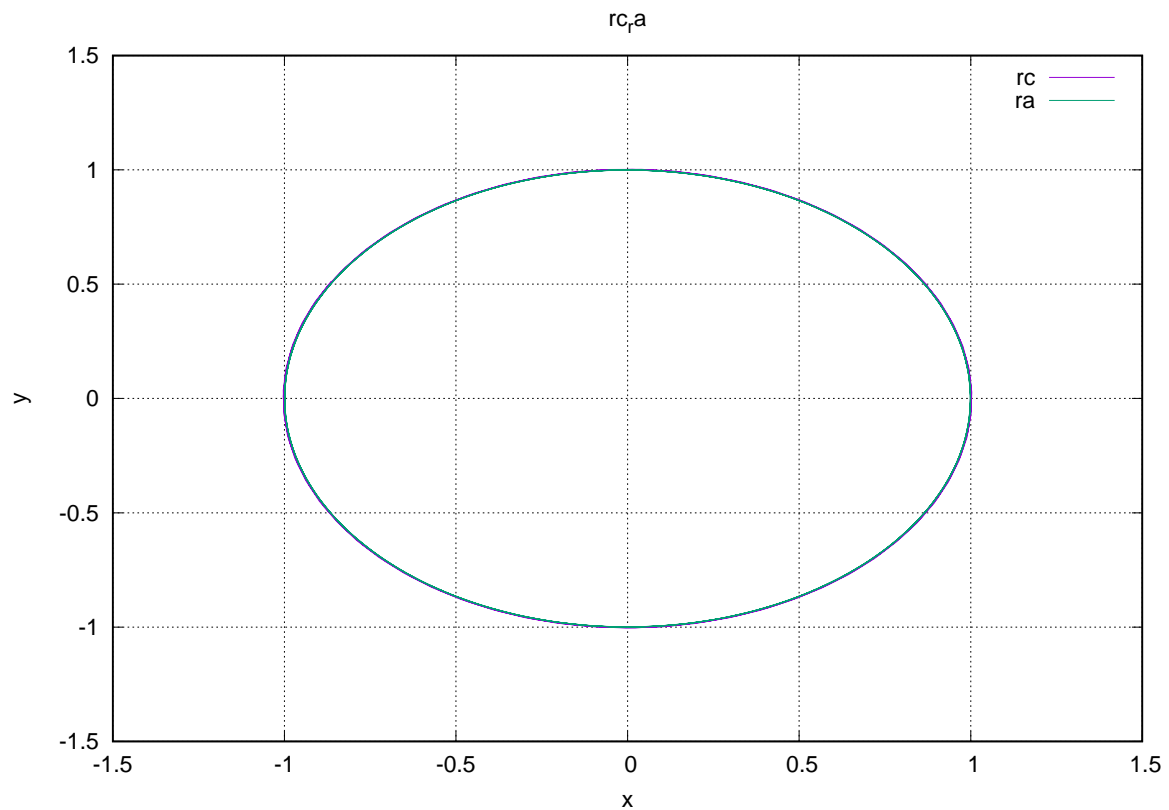


図4 解析解と数値解の比較

## 5 課題 3.4

式 (2) の数値解を、4 次のルンゲ-クッタ法を用いて計算した。また、課題 3.2 と同様に、各  $p$  に対して最大誤差  $E_r = \max |e_r(t)|$  を求めた。

### 5.1 4 次のルンゲ-クッタ法

4 次のルンゲ-クッタ法は、以下の手順で  $\mathbf{x}_n$  を順次求める手法である。

1.  $\mathbf{k}_1 = \mathbf{f}(\mathbf{x}_{n-1})$
2.  $\mathbf{k}_2 = \mathbf{f}(\mathbf{x}_{n-1} + \mathbf{k}_1 \cdot (\text{dt}/2))$
3.  $\mathbf{k}_3 = \mathbf{f}(\mathbf{x}_{n-1} + \mathbf{k}_2 \cdot (\text{dt}/2))$
4.  $\mathbf{k}_4 = \mathbf{f}(\mathbf{x}_{n-1} + \mathbf{k}_3 \cdot \text{dt})$
5.  $\mathbf{k} = \frac{\mathbf{k}_1 + 2 \cdot \mathbf{k}_2 + 2 \cdot \mathbf{k}_3 + \mathbf{k}_4}{6}$
6.  $\mathbf{x}_n = \mathbf{x}_{n-1} + \mathbf{k} \cdot \text{dt}$

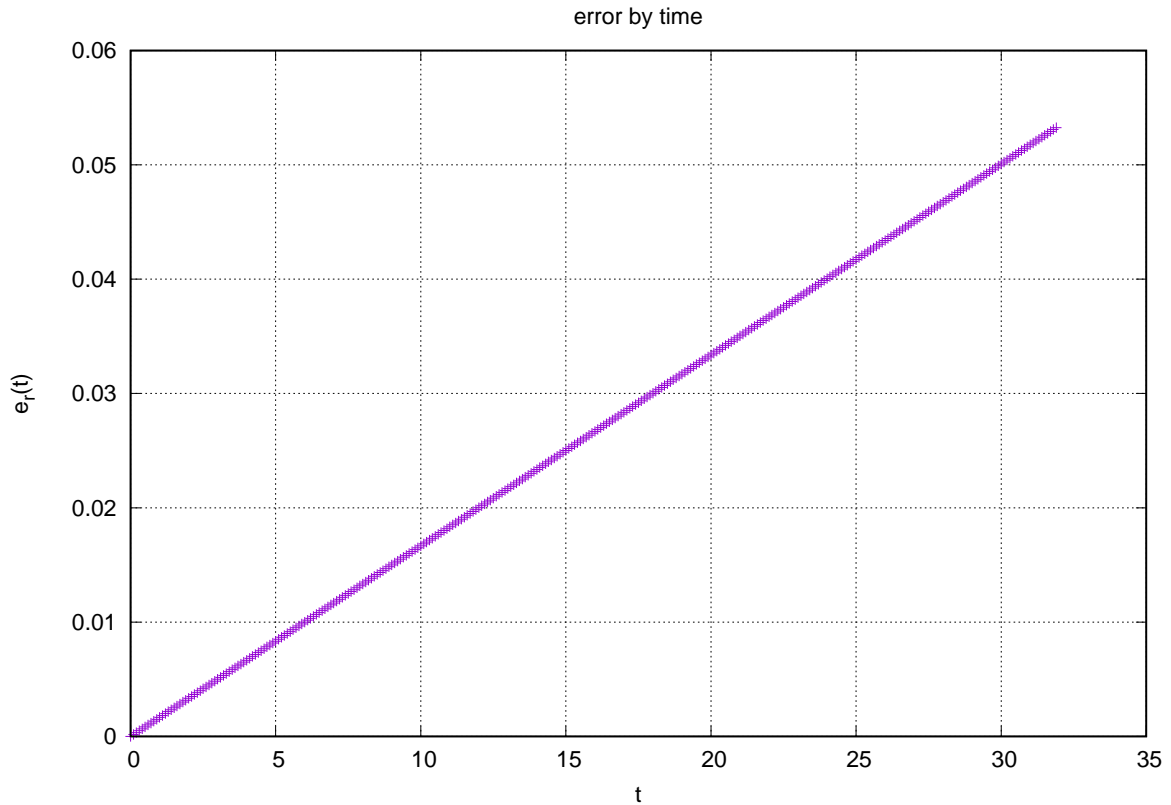


図 5 誤差の時間発展

## 5.2 結果

図 7 は、式 (2) の解析解と数値解のそれぞれについて、 $\mathbf{r}$  の軌跡をプロットしたものである。目視では違いが見られないほど、高い精度で数値解が求められていることがわかる。

図 8 は、式 (2) の解析解と数値解の誤差を、時間に沿ってプロットしたものである。時間の経過に従って、誤差が一次関数的に増加していることがわかる。

図 9 は、各  $p$  に対する  $\log_2 E_r$  をグラフにプロットしたものである。 $p$  の増加に伴い、途中までは一次関数的に最大誤差が減少しているが、 $p = 11$  周辺から最大誤差の減少が止まり、 $E_r = -48$  程度で頭打ちになったことがわかる。

このグラフの傾きは、標準出力の表示によると、

$$b = -3.9836971175101317$$

であった。



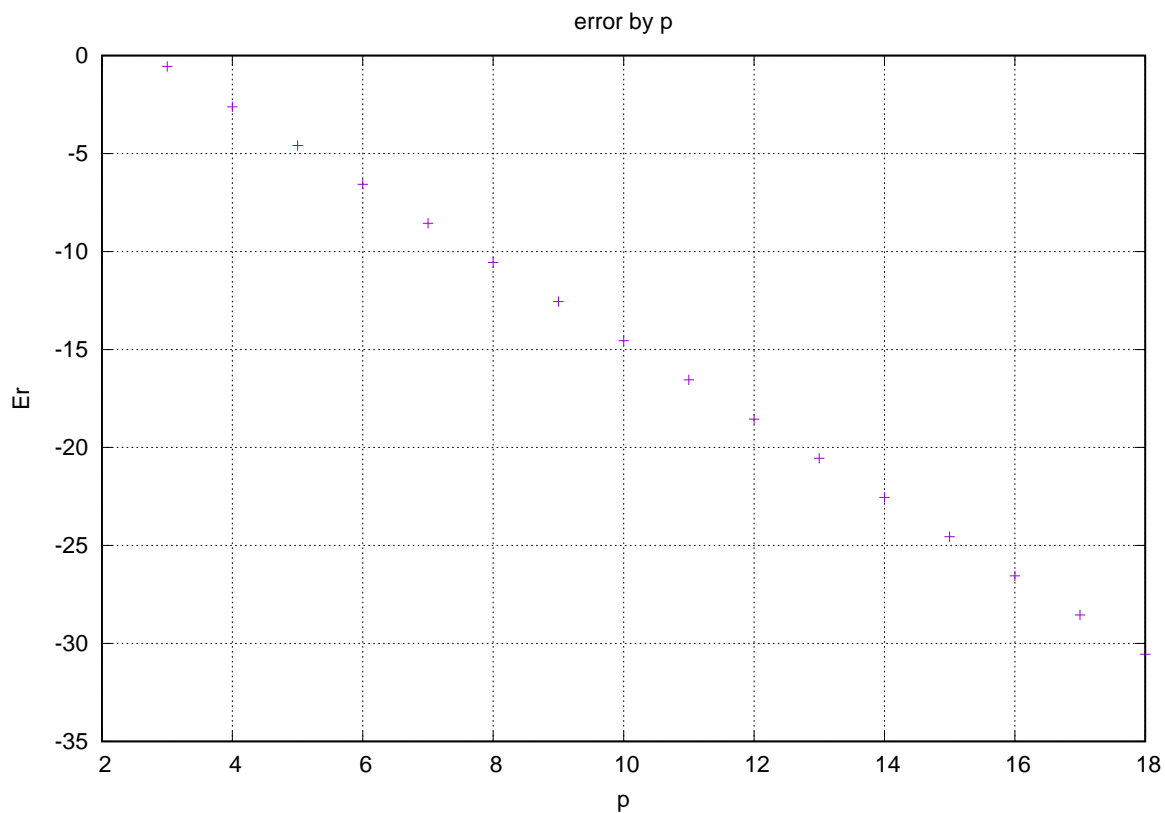


図6 微小時間の大きさに対する誤差の大きさ

## 6 考察

### 6.1 ルンゲ-クッタ法の $p > 11$ での精度について

図9を見ると、 $p > 11$  から、 $p$  を大きく、すなわち  $dt$  を小さくしても、精度が上がらなくなっている。これは、Ruby の Float クラスの精度の限界によるものと考えられる。

### 6.2 $p - \log_2 Er$ の傾きについて

## 7 付録

## 8 参考文献

1. Euler 法 - [物理のかぎしっぽ] (<https://goo.gl/ZV2wd6>)
2. Heun 法 - [物理のかぎしっぽ] (<https://goo.gl/0DH44q>)
3. Runge-Kutta 法 - [物理のかぎしっぽ] (<https://goo.gl/raIx64>)

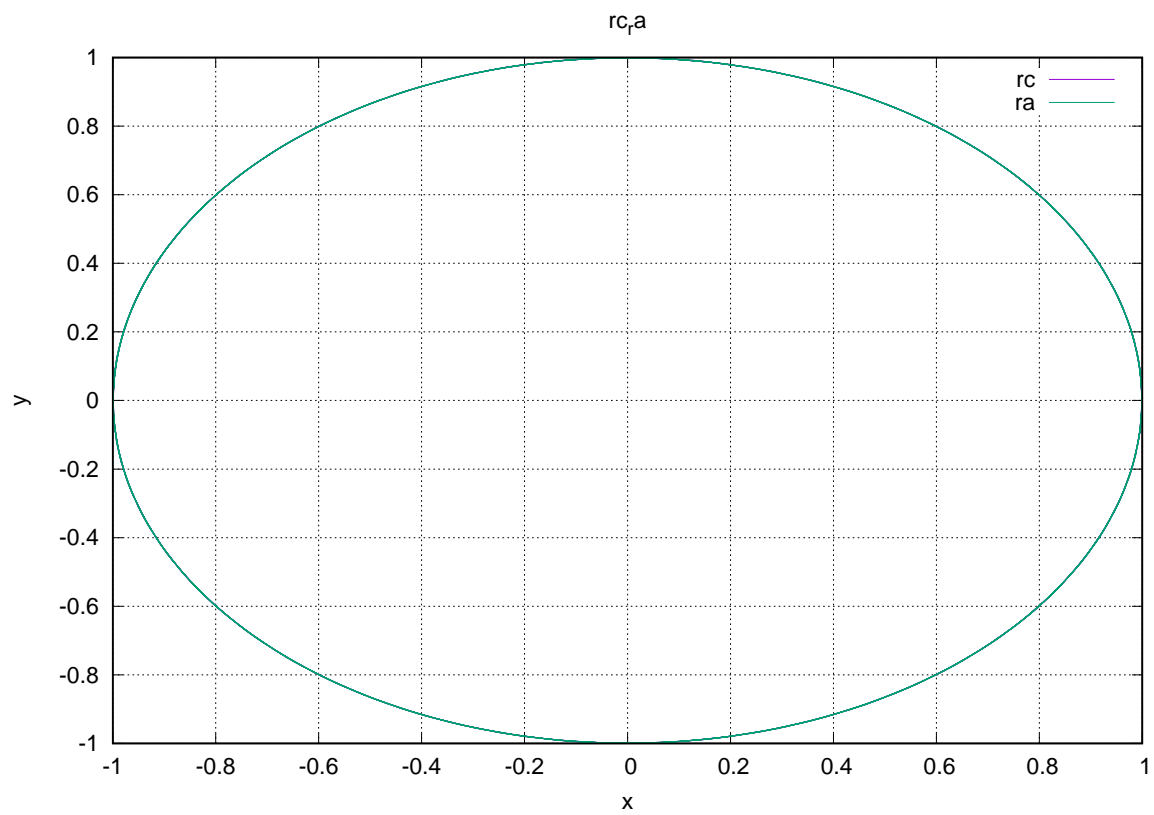


図 7 解析解と数値解の比較

4. 2 数値計算法 - [物理のかぎしっぽ] (<https://goo.gl/mGdShj>)

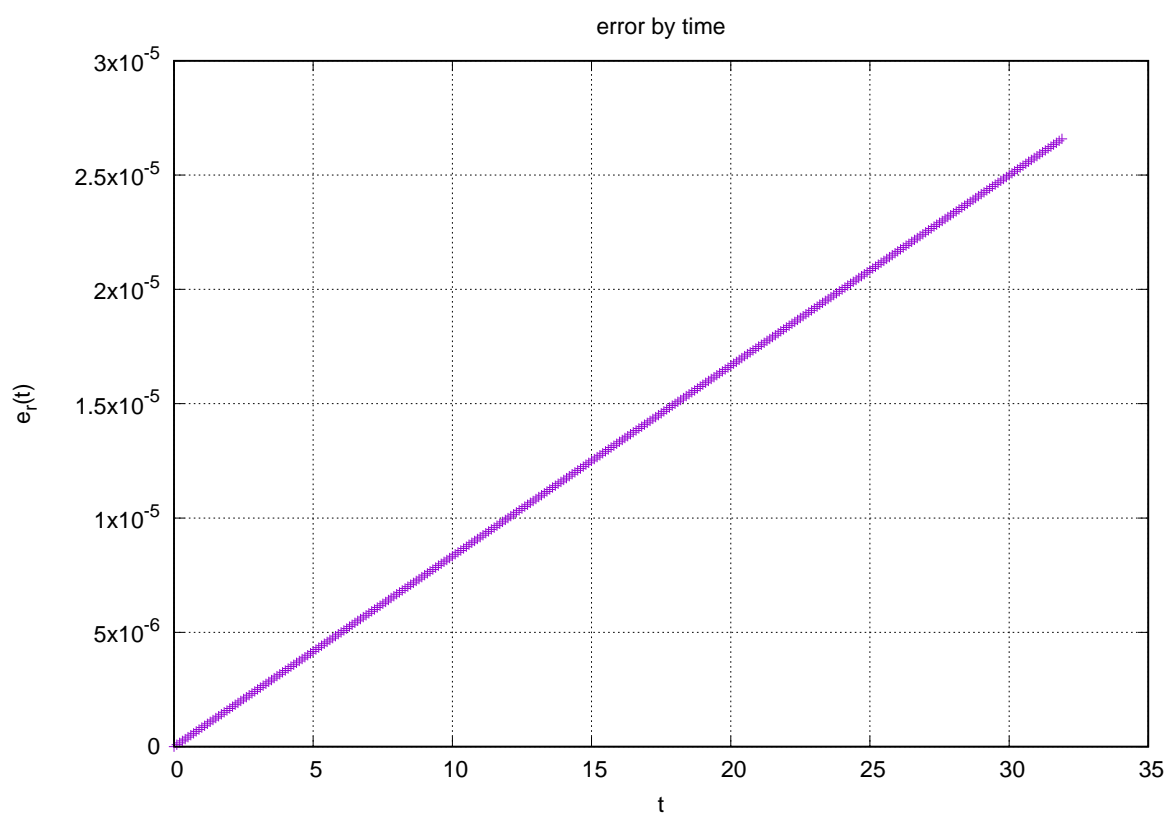


図 8 誤差の時間発展

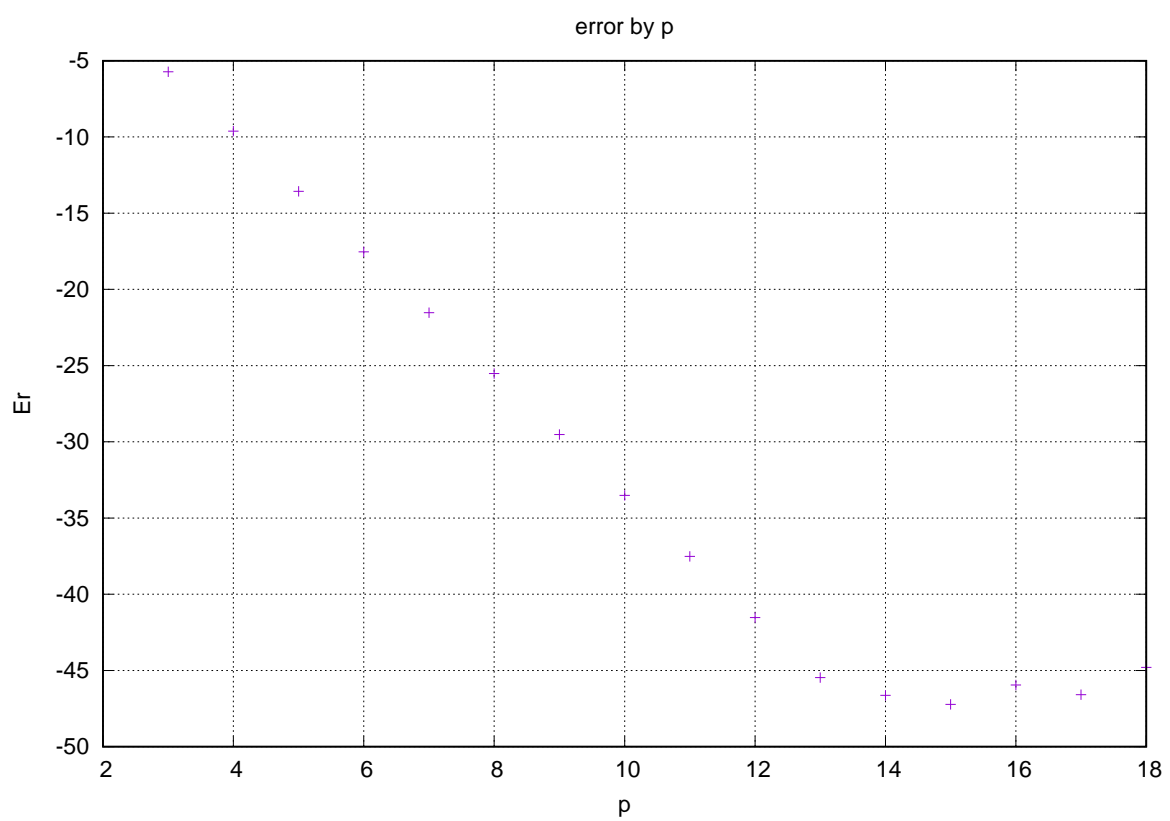


図9 微小時間の大きさに対する誤差の大きさ